



# 巨大津波の基本特性の把握と 対津波設計への活用

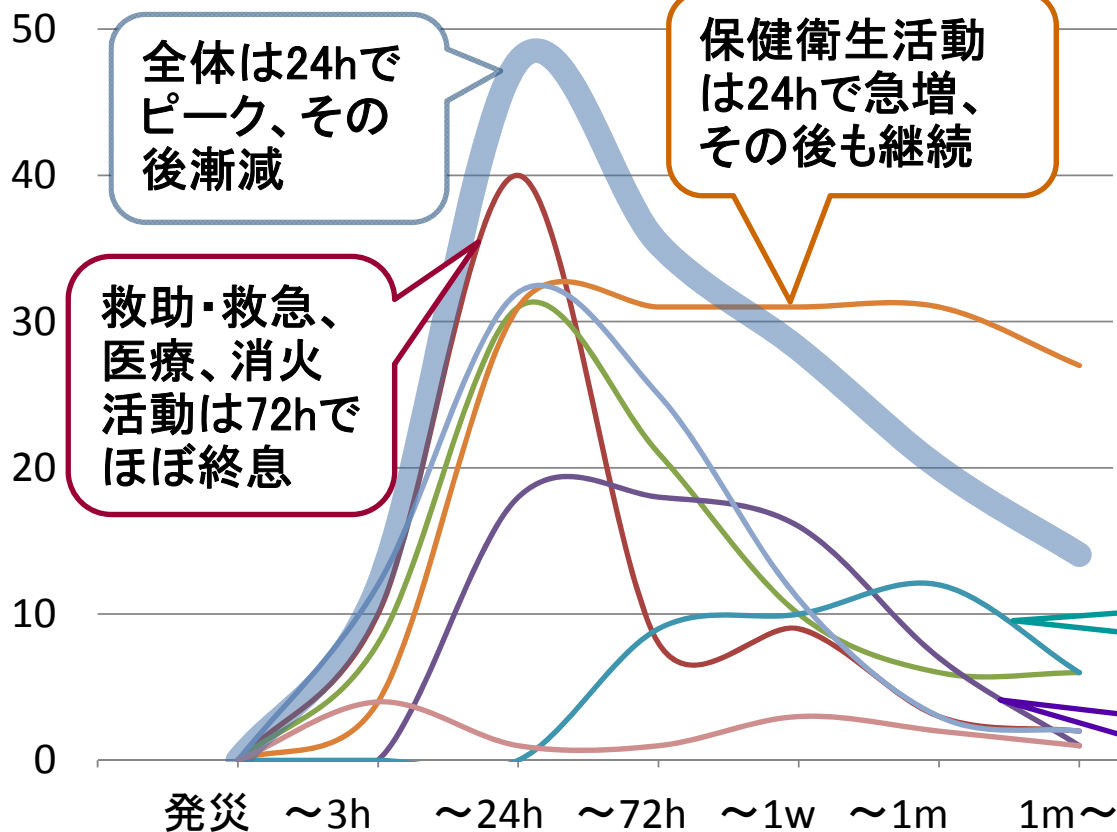


国土交通省 国土技術政策総合研究所

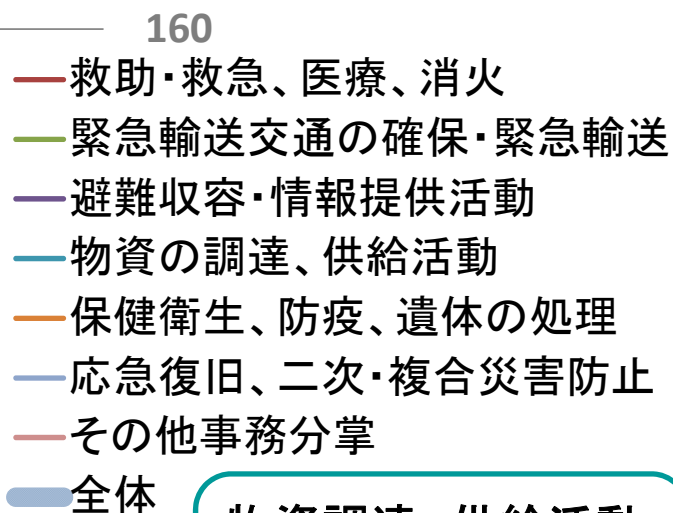
危機管理技術研究センター 地震防災研究室

- 東日本大震災では橋の上部構造の流出が多発
- 橋は復旧に時間を要する一方、交通機能の回復は待ったなし

## 活動項目数



## 活動項目数(全体)



災害時の道路へのニーズ（諸機関の防災計画等から）

物資調達、供給活動  
24h以降に本格化、  
1m後まで増加傾向

避難收容・情報提供  
活動は3h以降本格  
化、1w後まで継続

- 橋は復旧に時間を要する一方、交通機能の回復は待ったなし
- 震災前は、津波の影響を特別には考慮しない設計

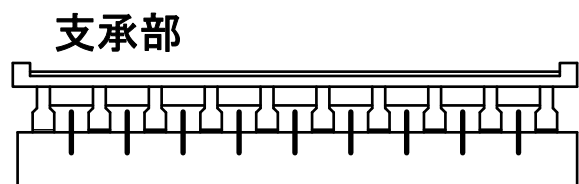
## 道路橋示方書 V 耐震設計編 (2012.2改定)

### 2.1 耐震設計の基本方針

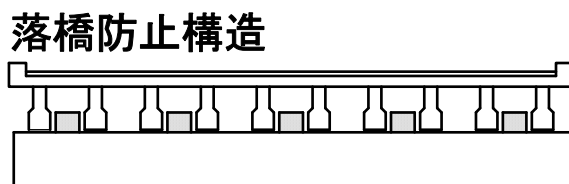
- (2) 耐震設計にあたっては、地形・地質・地盤条件、立地条件、  
津波に関する地域の防災計画等を考慮した上で構造を計画する

#### 同解説

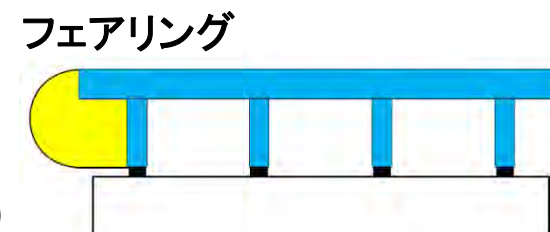
- 津波の高さに対して桁下空間を確保
- 津波の影響を受けにくいような構造的工夫を施す
- 上部構造が流出しても復旧しやすいように構造的な配慮をする



アンカー：固定(9-Φ32), 可動(9-Φ25)



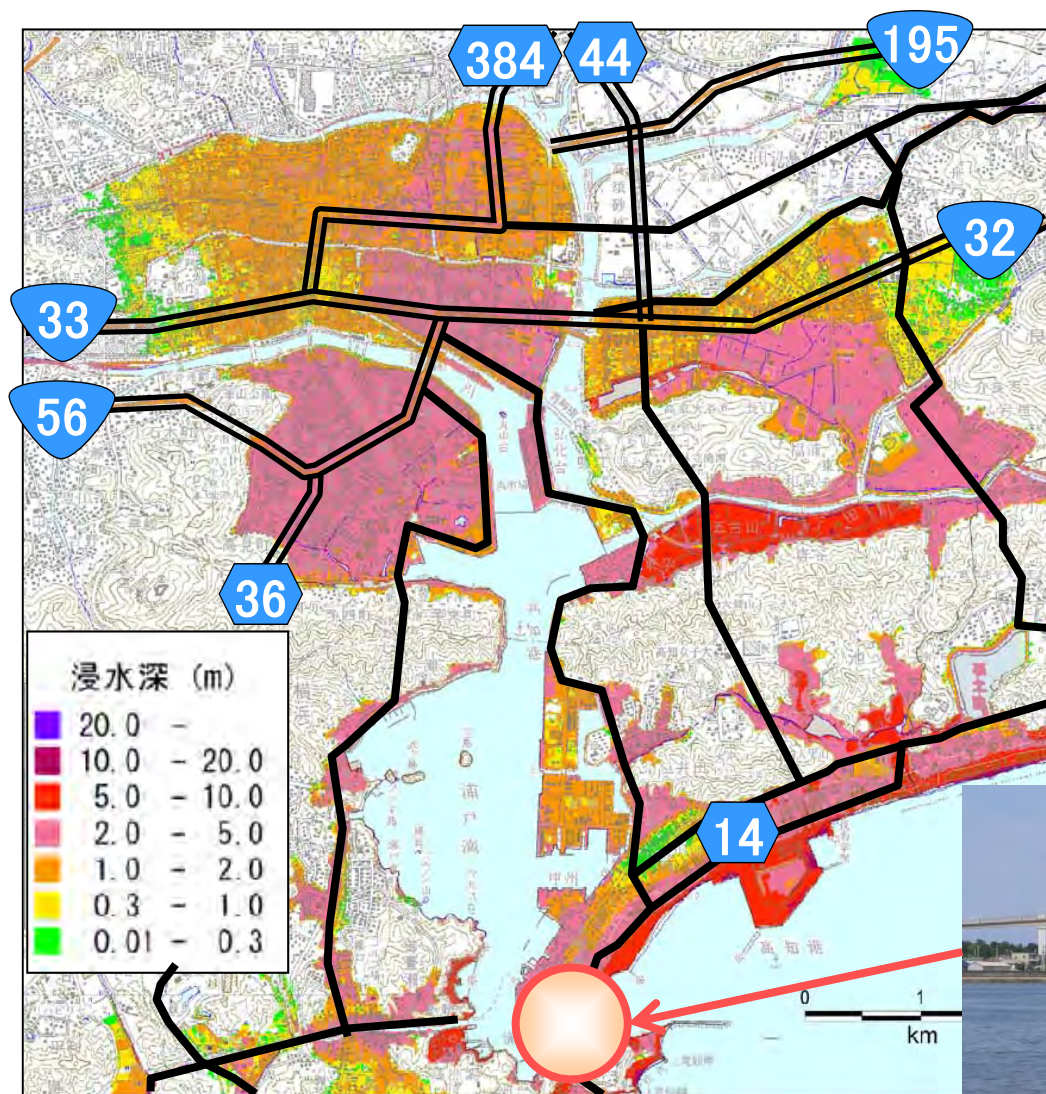
変位制限構造：5基(幅500×奥250×高300)



土木研究所(2013)

九州工業大学(2010)

# 具体的に、どの橋をどうするか？

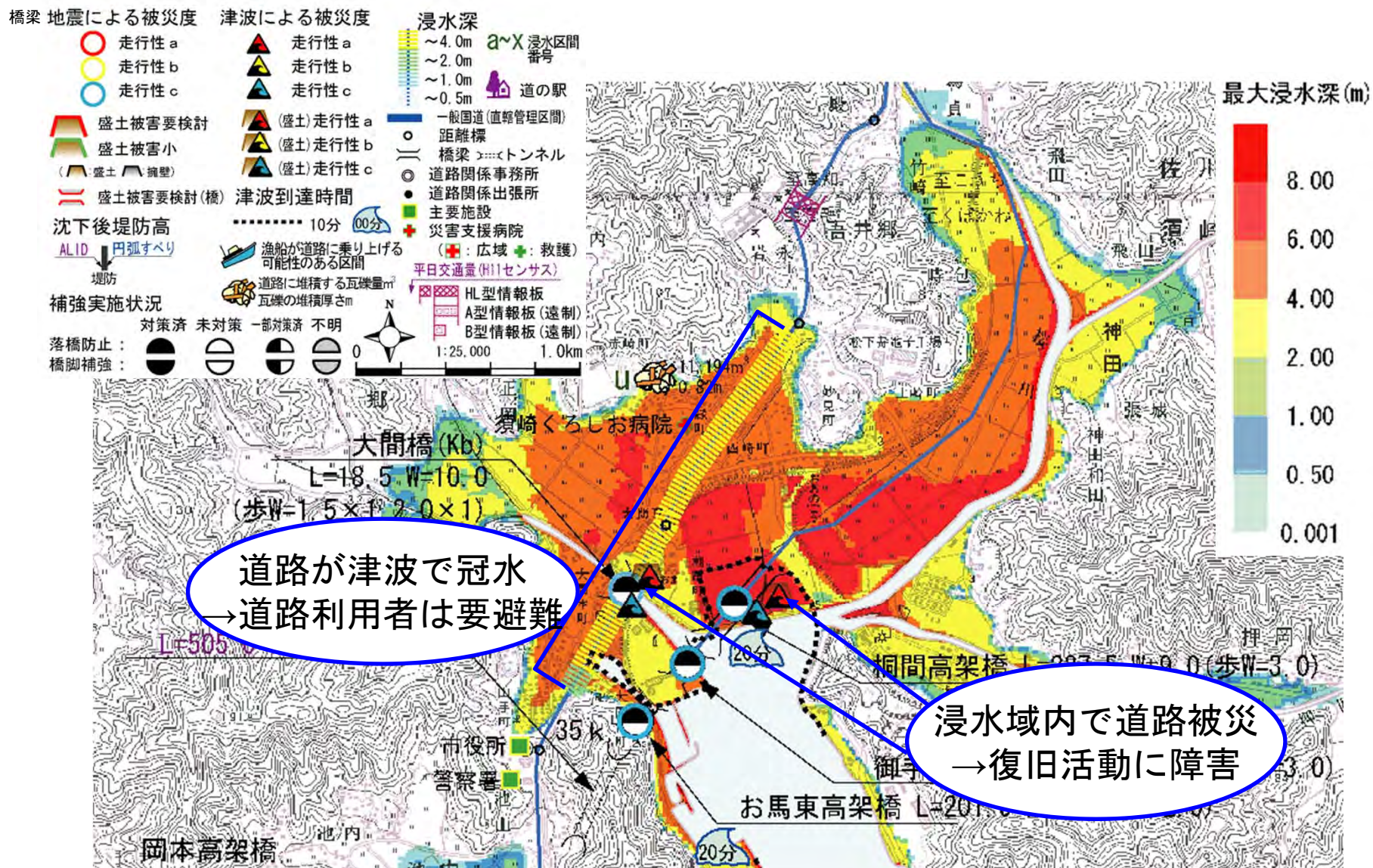


- 多様な道路交通ニーズ  
×
- 種々の構造・対応策  
×
- 異なるハザードレベル

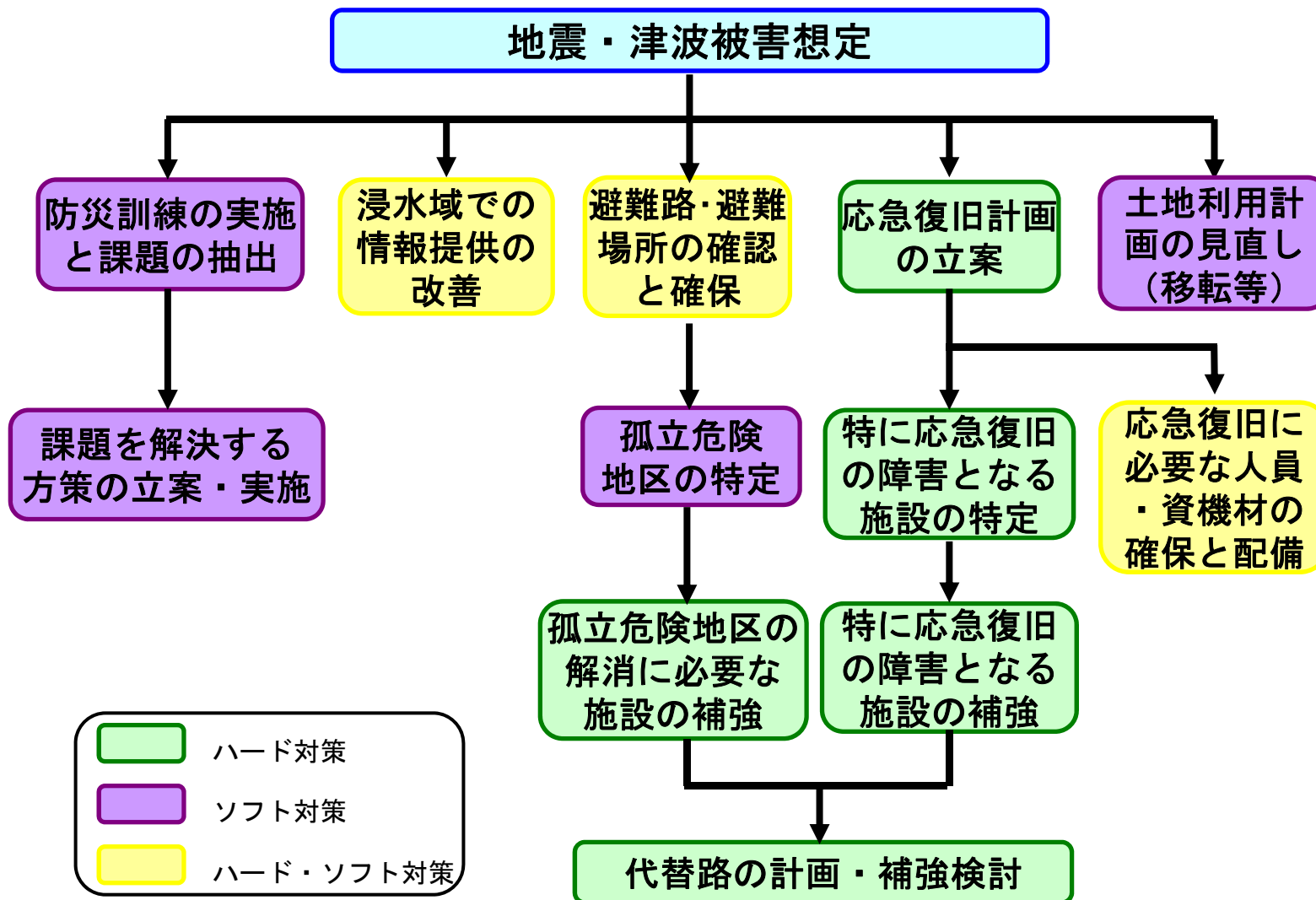


浦戸大橋

南海トラフ巨大地震津波による浸水予測(内閣府)に加筆



南海地震時の須崎市周辺の道路施設 (一部拡大)



総合的な防災・減災の一環としての対津波設計



# 津波浸水シミュレーション

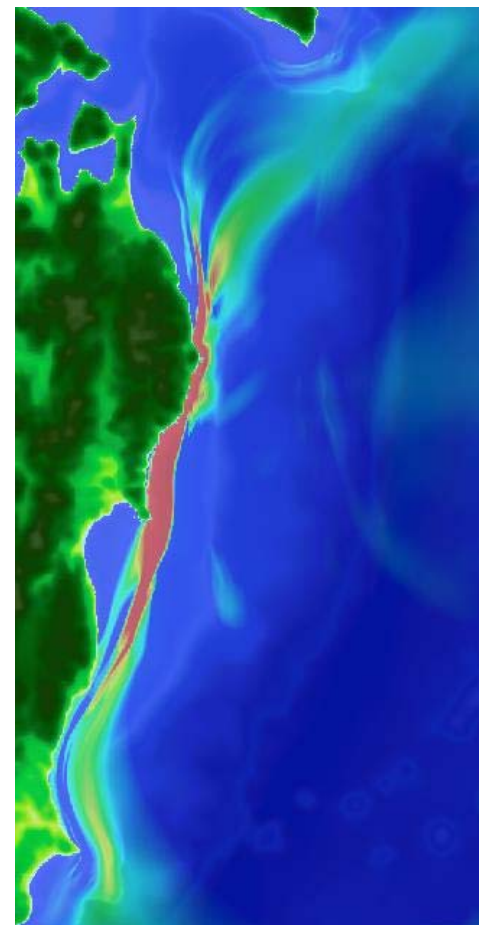
津波の被害想定や防災計画の策定には津波の推定が必須

○想定する地震（津波の波源モデル）の設定

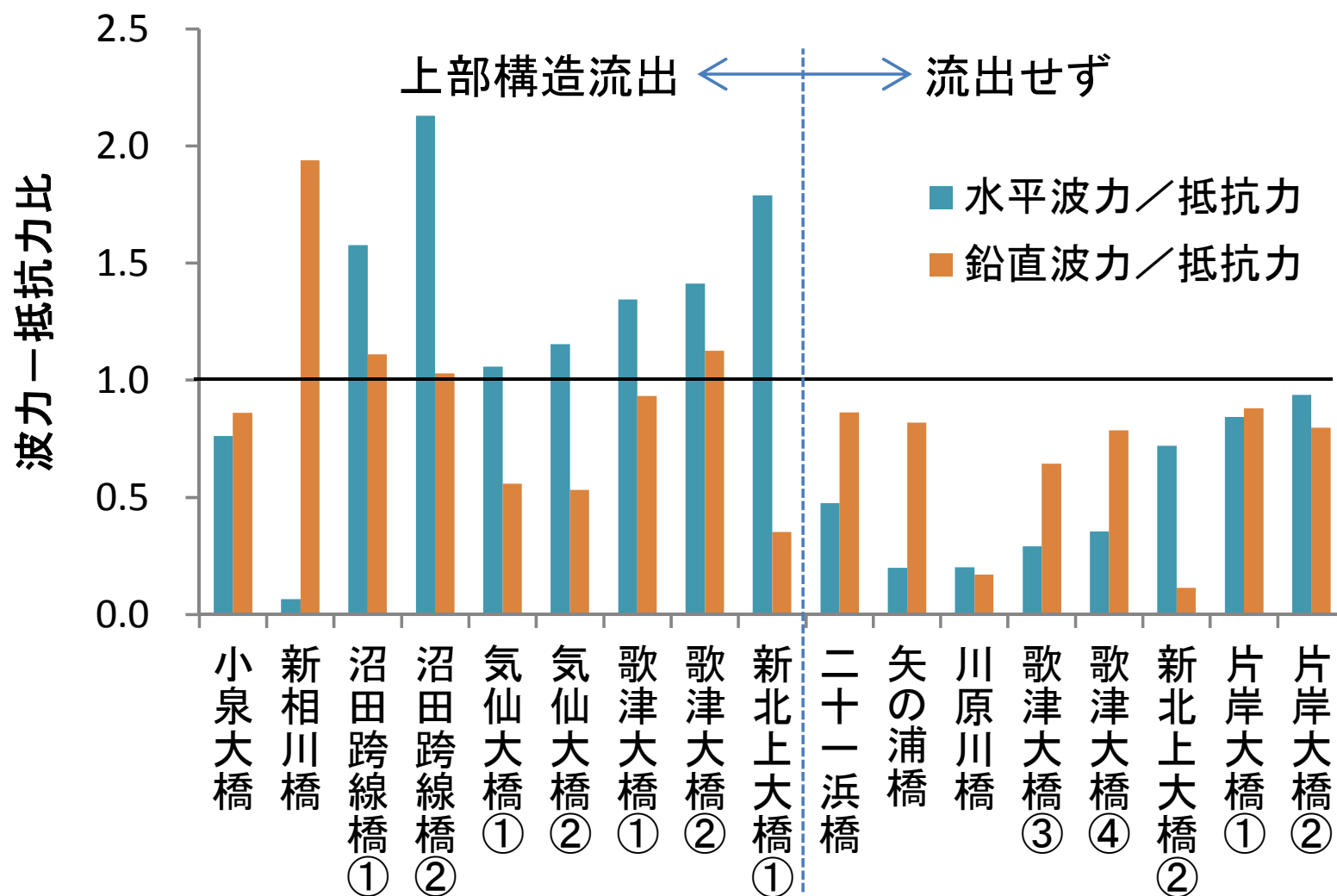
○対象地点に来襲する津波の推定



津波浸水シミュレーションにより推定可能  
（国土交通省「津波浸水想定の設定の手引き」）



2011東北津波



浸水深だけでなく、流速も再現可能であることを検証  
 動画から得られた漂流物の移動速度とも整合



対象地点に来襲する津波は、流速も含め、津波浸水シミュレーションにより推定可能

一方・・・

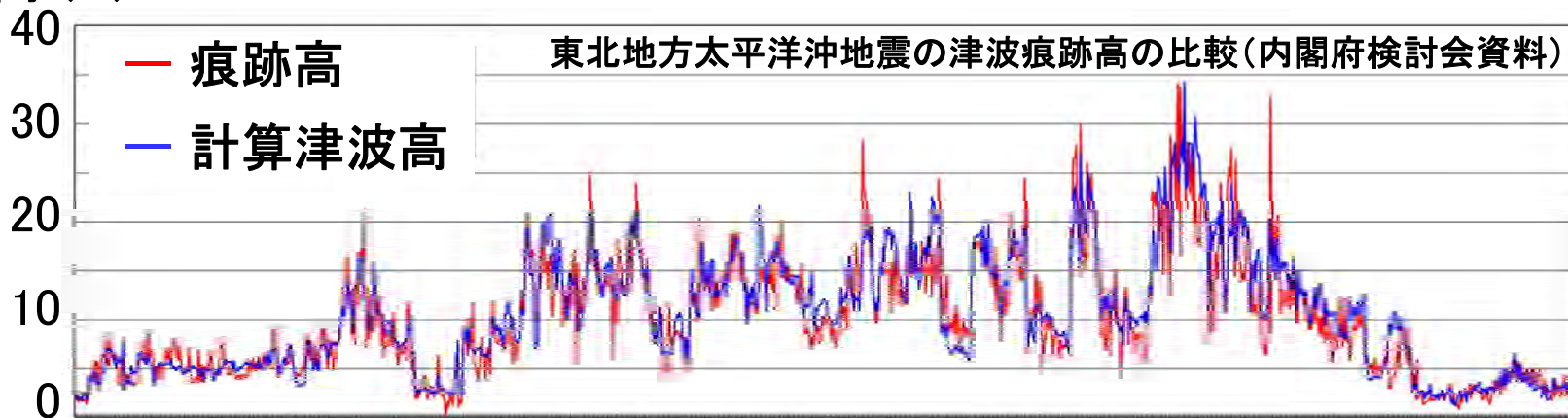
○どういう条件でどの程度大きく／小さくなる現象？

波高・流速はなぜこの大きさなのか？ なぜ他の場所と違うのか？



## 津波の基本特性の把握

津波高 (m)



— 痕跡高

— 計算津波高

東北地方太平洋沖地震の津波痕跡高の比較(内閣府検討会資料)

千葉県

地点

北海道

津波の波高・流速は、既往の研究や水理公式等でどこまで表せるか？

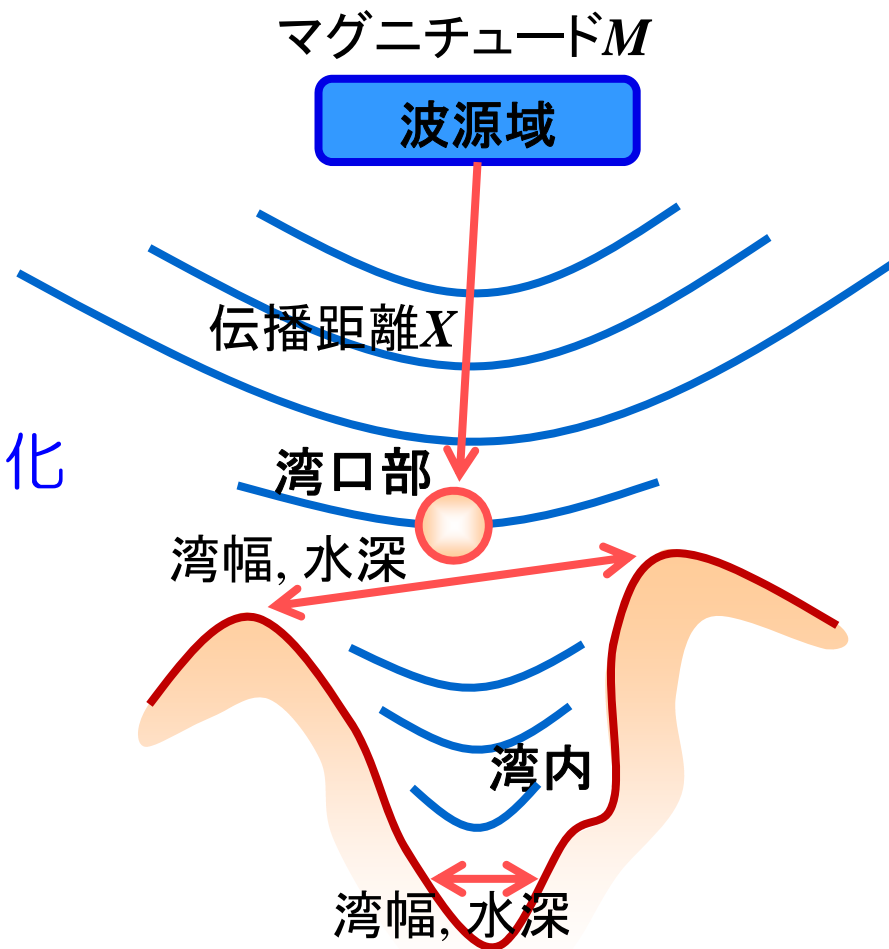
## 1. 巨大津波の特性

- 湾口部での波高
- 湾口部での流速

## 2. 湾内での津波特性の変化

- 波高の増大
- 流速の増大

## 3. まとめと今後の展望





# 津波高の経験的予測式 (Abe, 1981)

$$\log_{10} H_t = M_w - \log_{10} \Delta - 5.55 \quad (X > r_0)$$

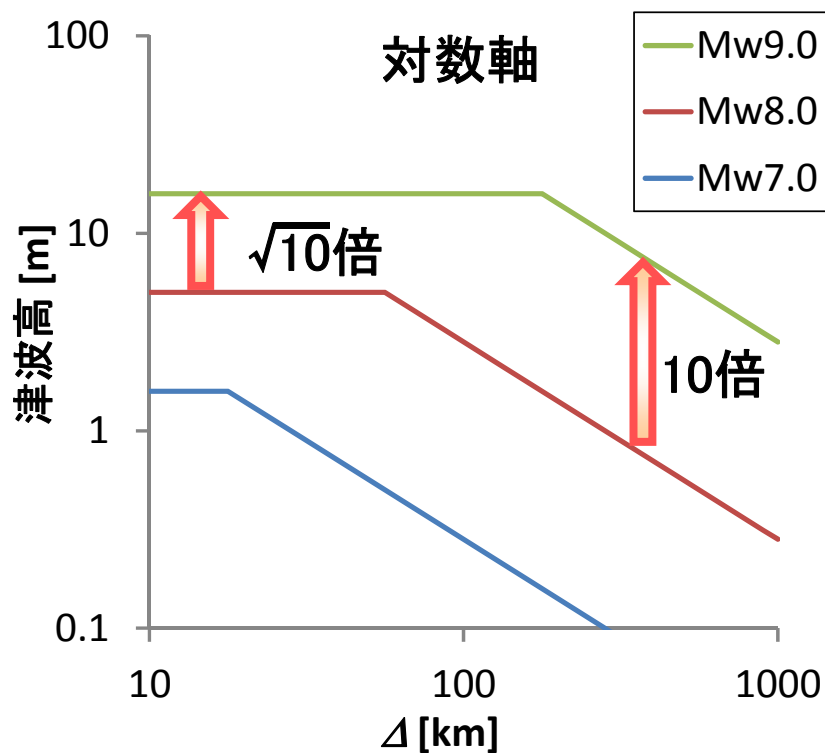
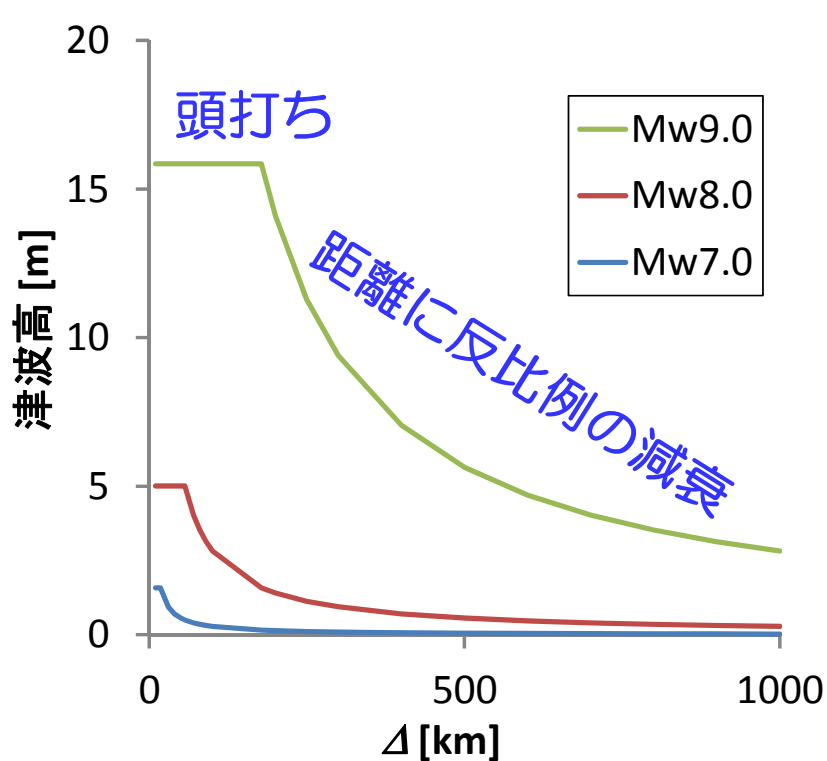
$r_0$  : 津波高が頭打ちになる距離

$\Delta \leq r_0$  のとき  $\Delta = r_0$  とする

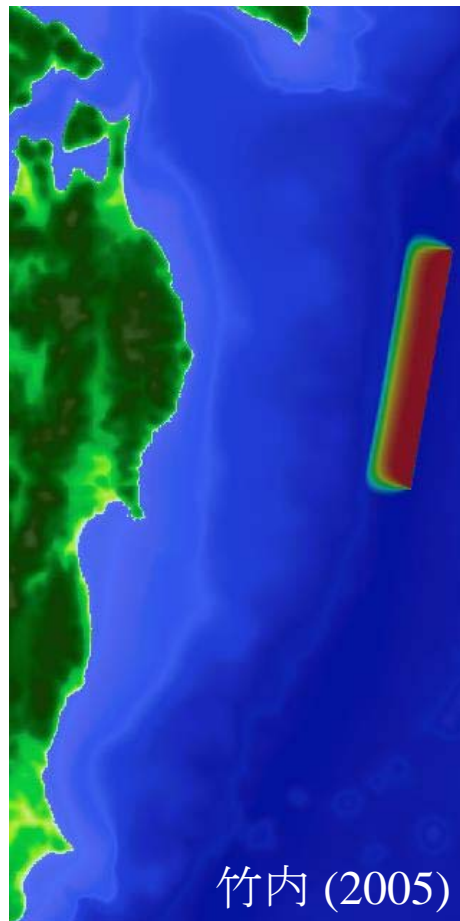
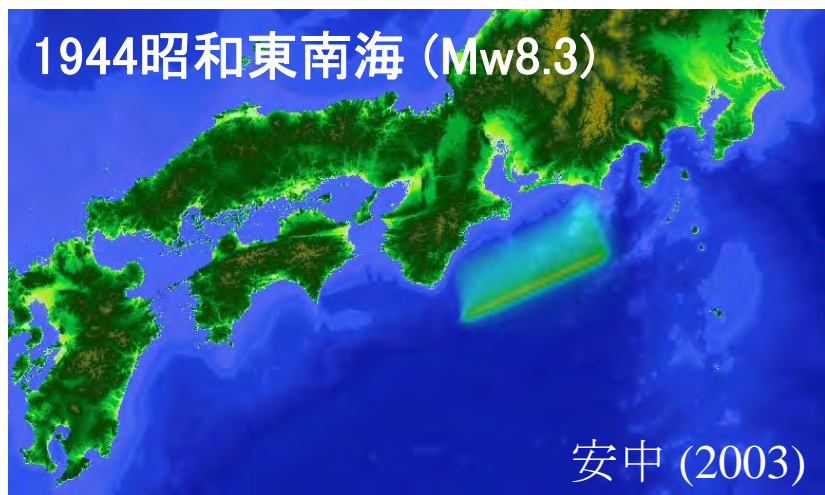
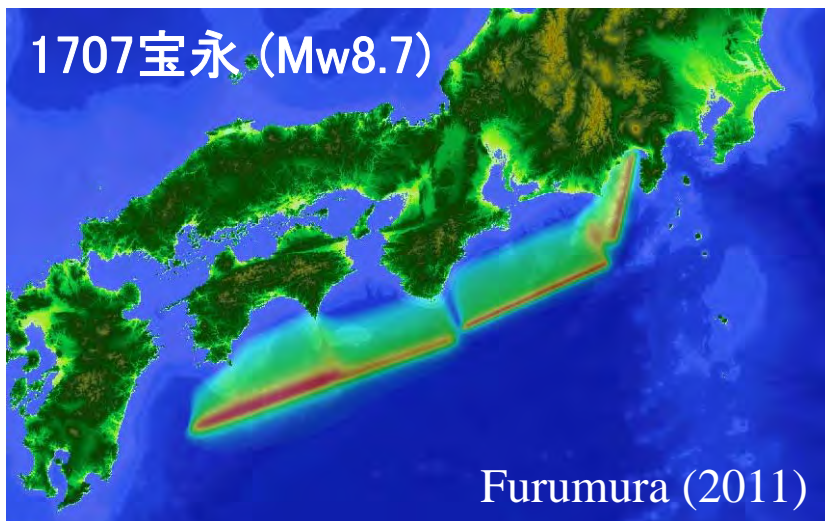
$$\log_{10} r_0 = 0.5M_w - 2.25$$

$H_t$  [m]: 津波高 (検潮儀で観測される最大全振幅)

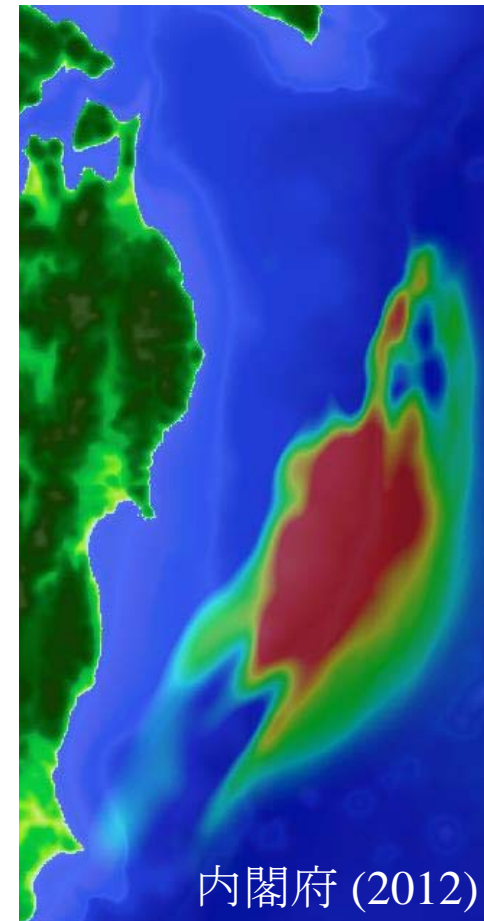
$\Delta$  [km]: 震央距離 (震央からの最短津波伝播距離)



津波の痕跡データから波源モデルを検証



1896明治三陸 (Mw8.4)

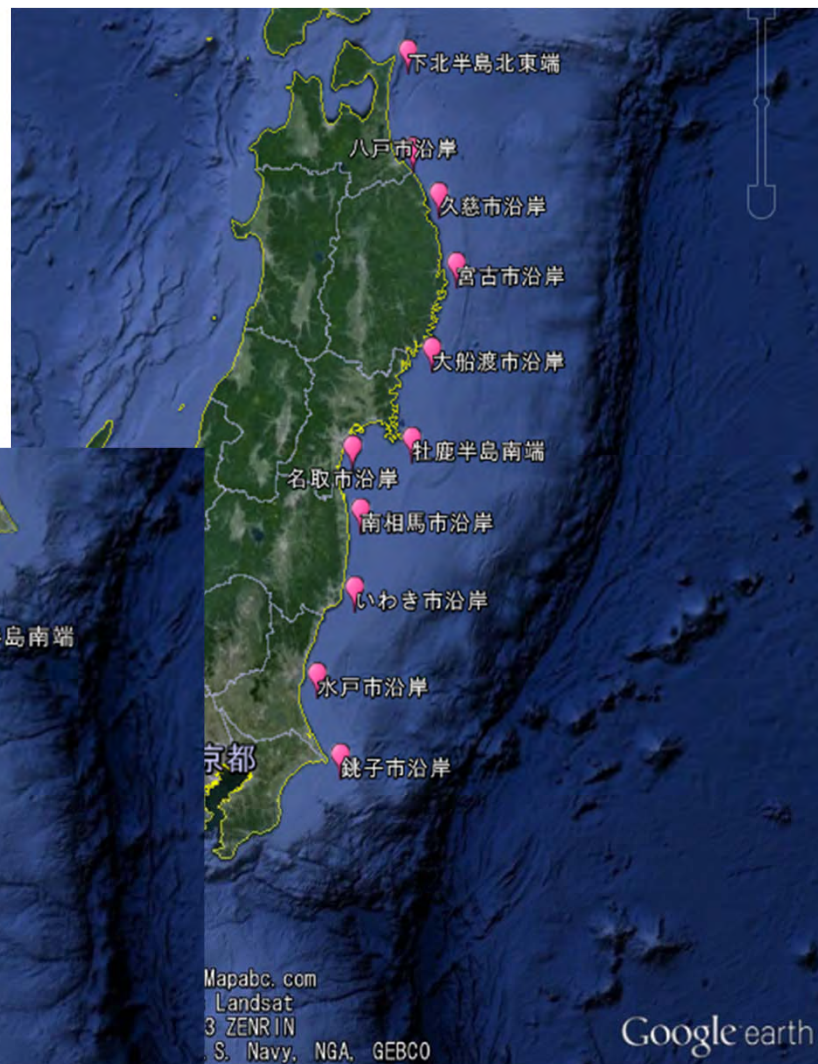
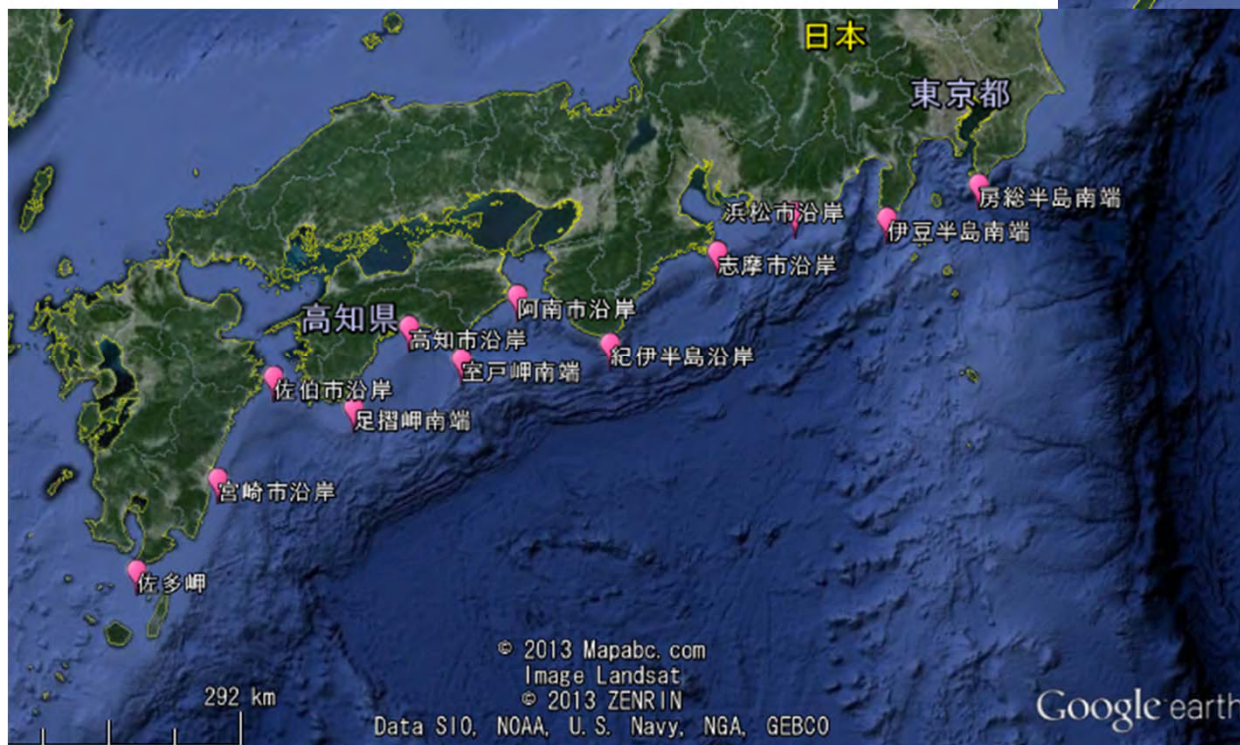


2011東北地方太平洋沖 (Mw9.0)

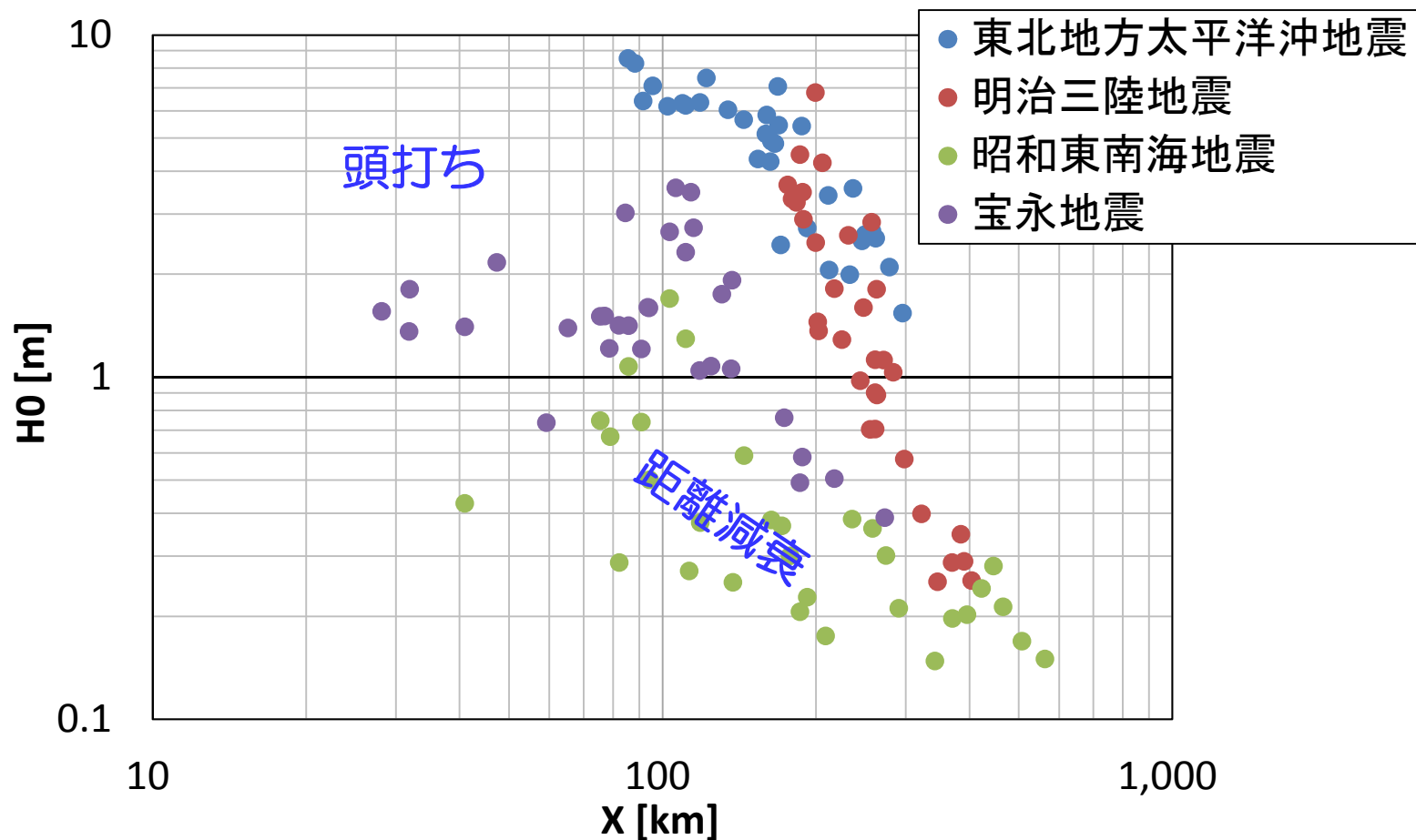


# 波源～湾口部までの津波（浸水シミュレーション）

湾口部の津波推定地点の位置  
（代表地点）



湾口部の津波推定地点での波高と  
波源域からの距離の関係



$$\log_{10} H_0 = 1.5M' - \log_{10} X - 9.68$$

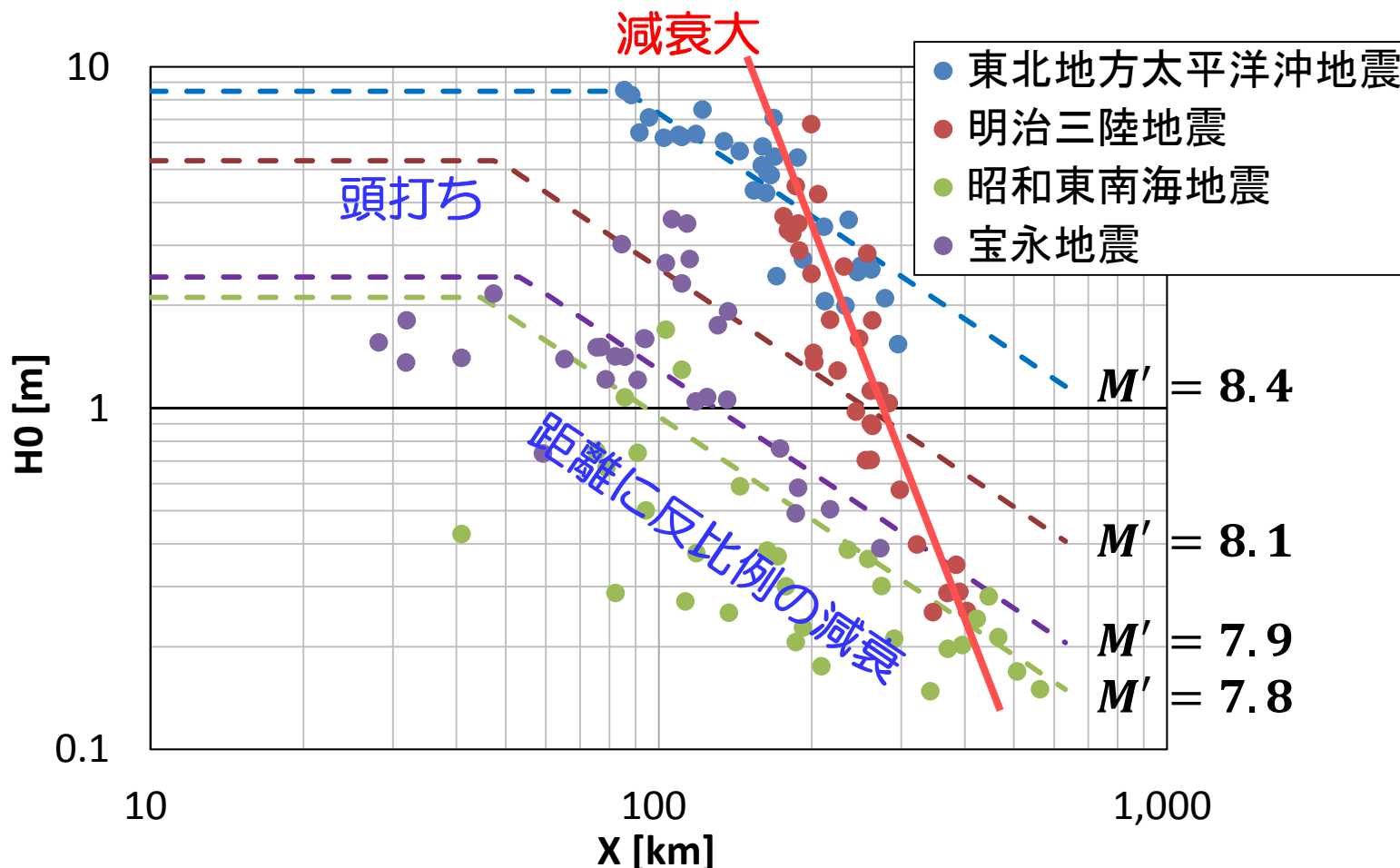
$X \leq r_0$  のとき  $X = r_0$  とする

$r_0$  : 津波高が頭打ちになる距離

$$\log_{10} r_0 = 0.5M_w - 2.25$$

Abe(1981)

$M'$  : すべりの鉛直成分のみ考慮した地震規模



## 長波の流速式

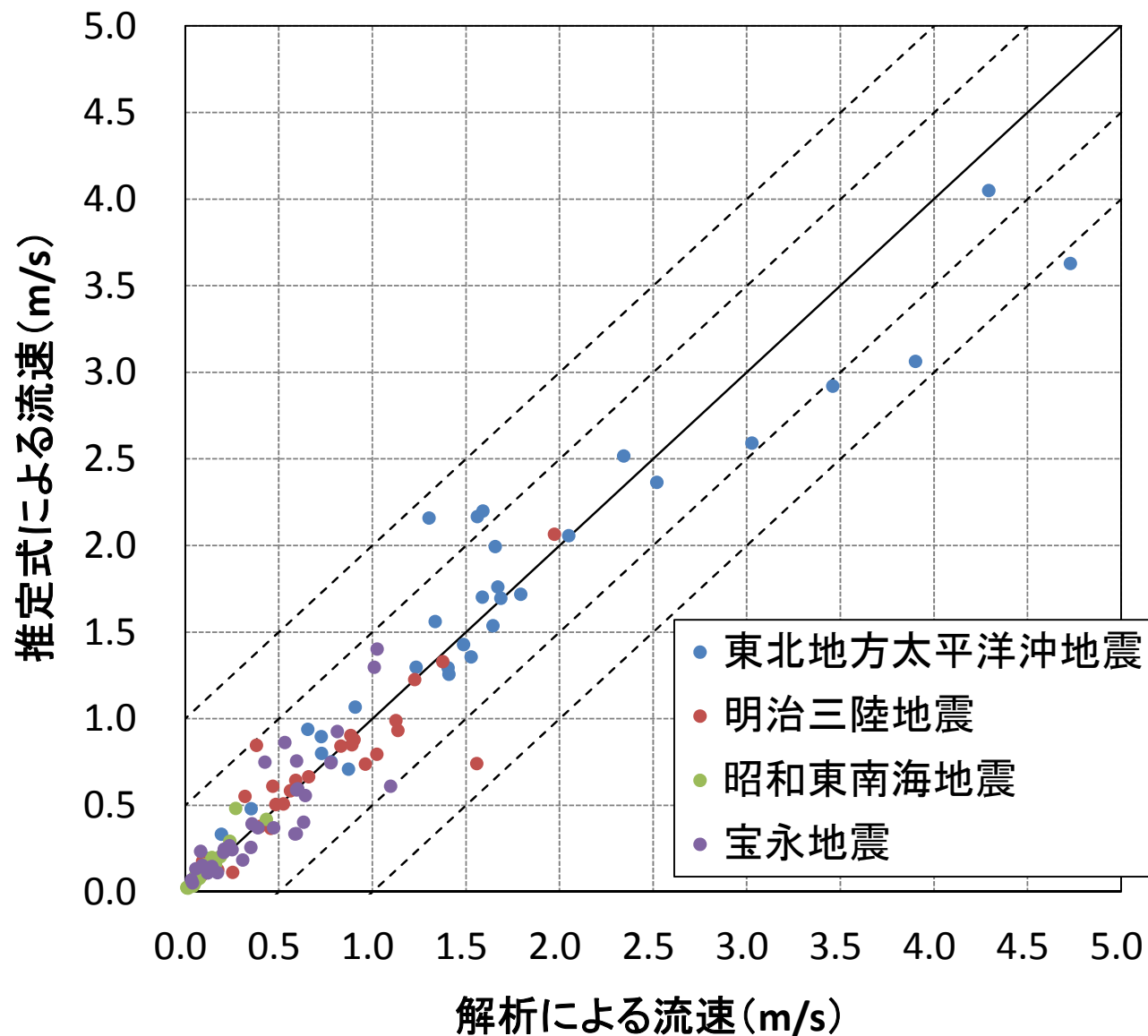
$$U = \eta \sqrt{\frac{g}{h}}$$

との比較

$\eta$ : 波高

$g$ : 重力加速度

$h$ : 水深





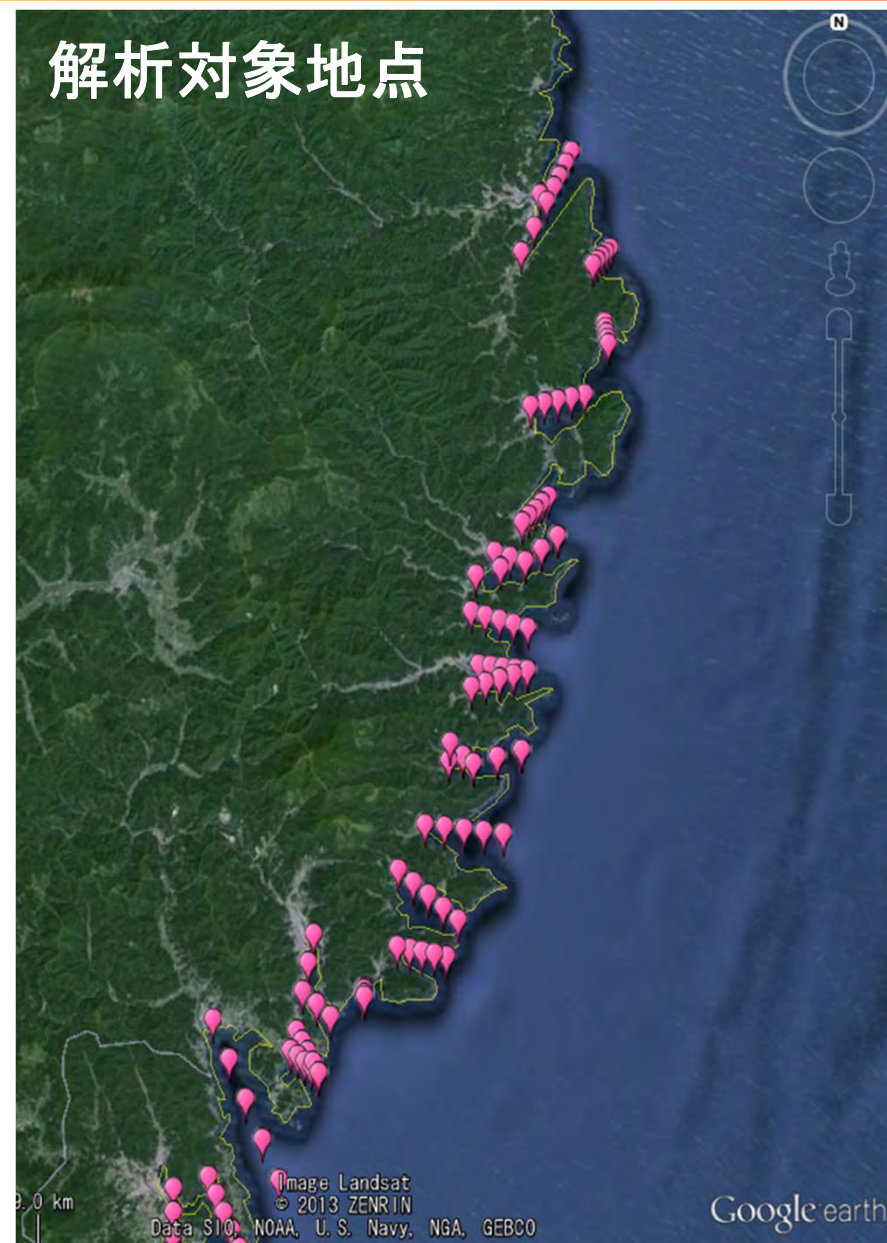
津波の波高に関するグリーンの式  
(気象庁の津波予報でも使用)

$$\frac{H_0}{H_1} = \left( \frac{B_1}{B_0} \right)^{\frac{1}{2}} \left( \frac{h_1}{h_0} \right)^{\frac{1}{4}}$$

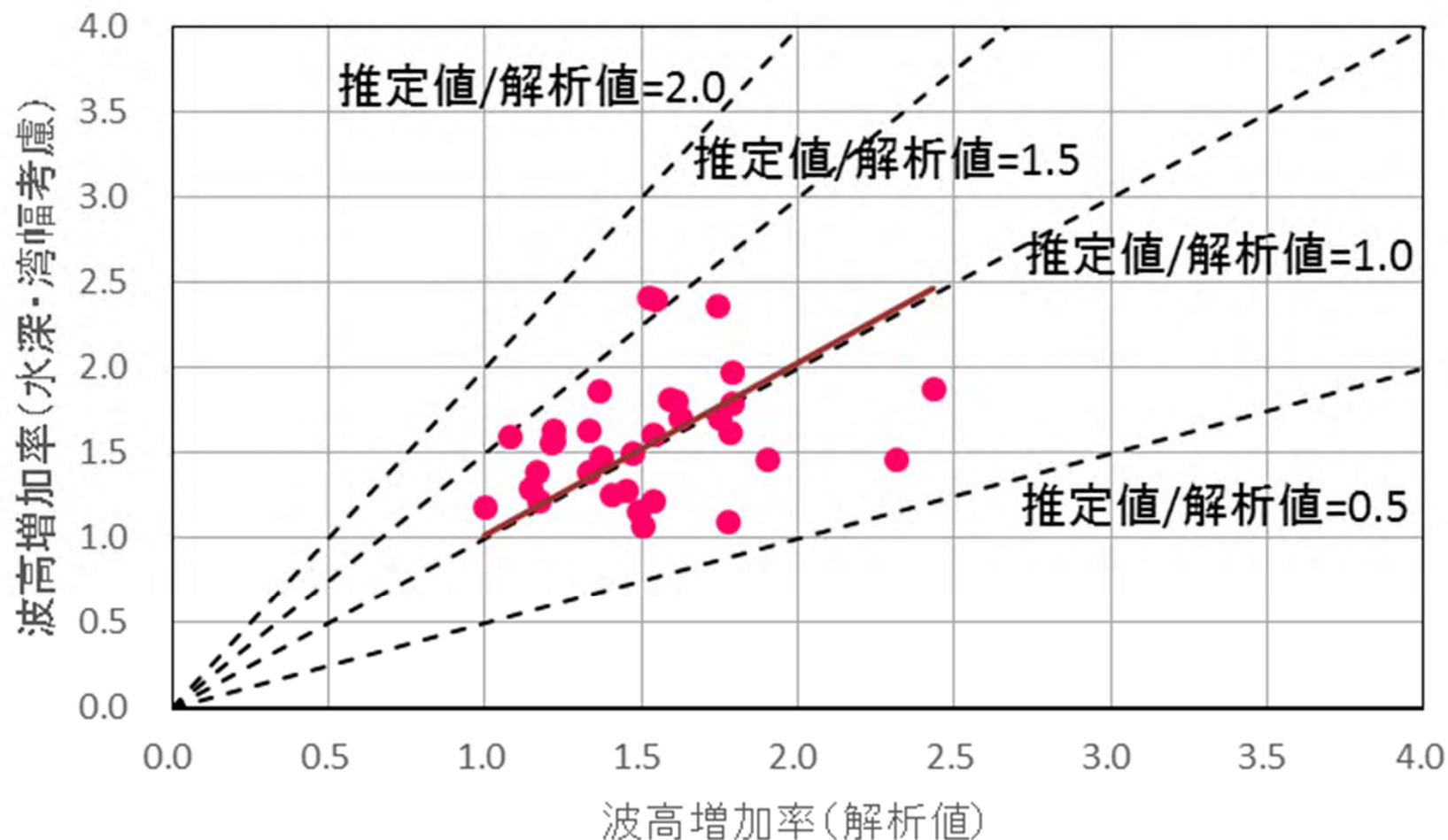
$H_0$ : 推定地点の波高       $H_1$ : 基準点の波高  
 $B_0$ : 推定地点の湾幅       $B_1$ : 基準点の湾幅  
 $h_0$ : 推定地点の水深       $h_1$ : 基準点の水深

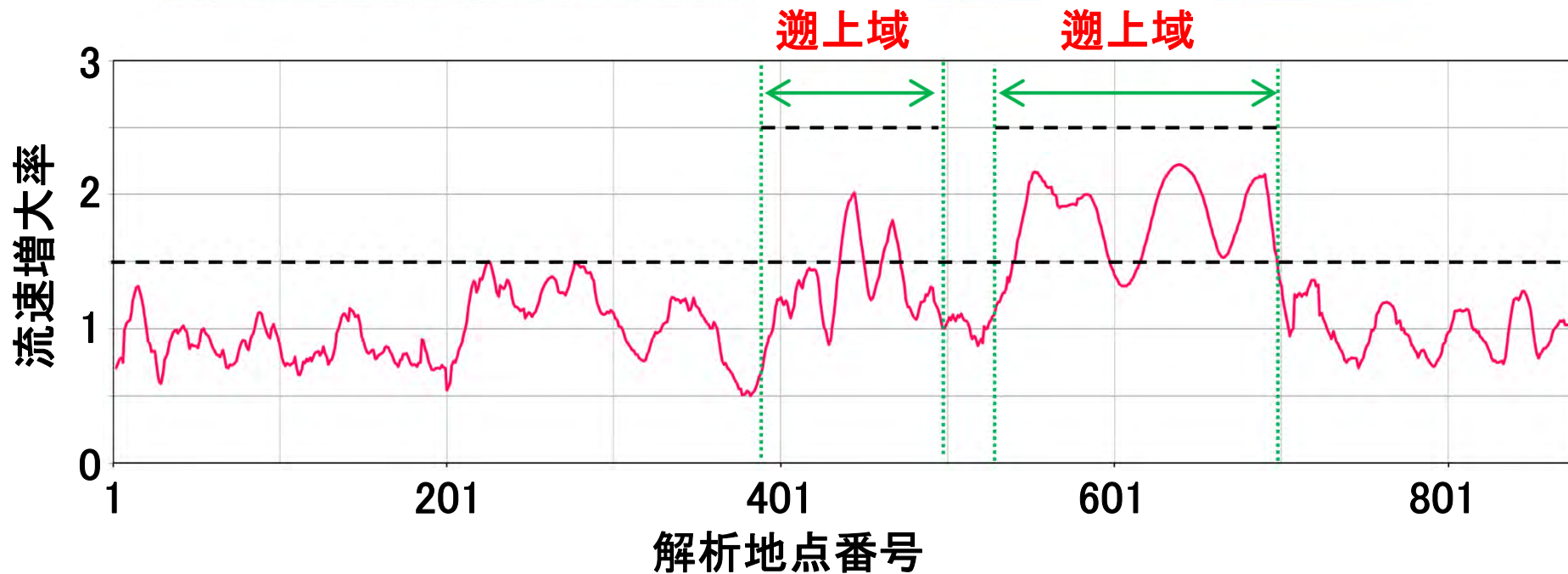
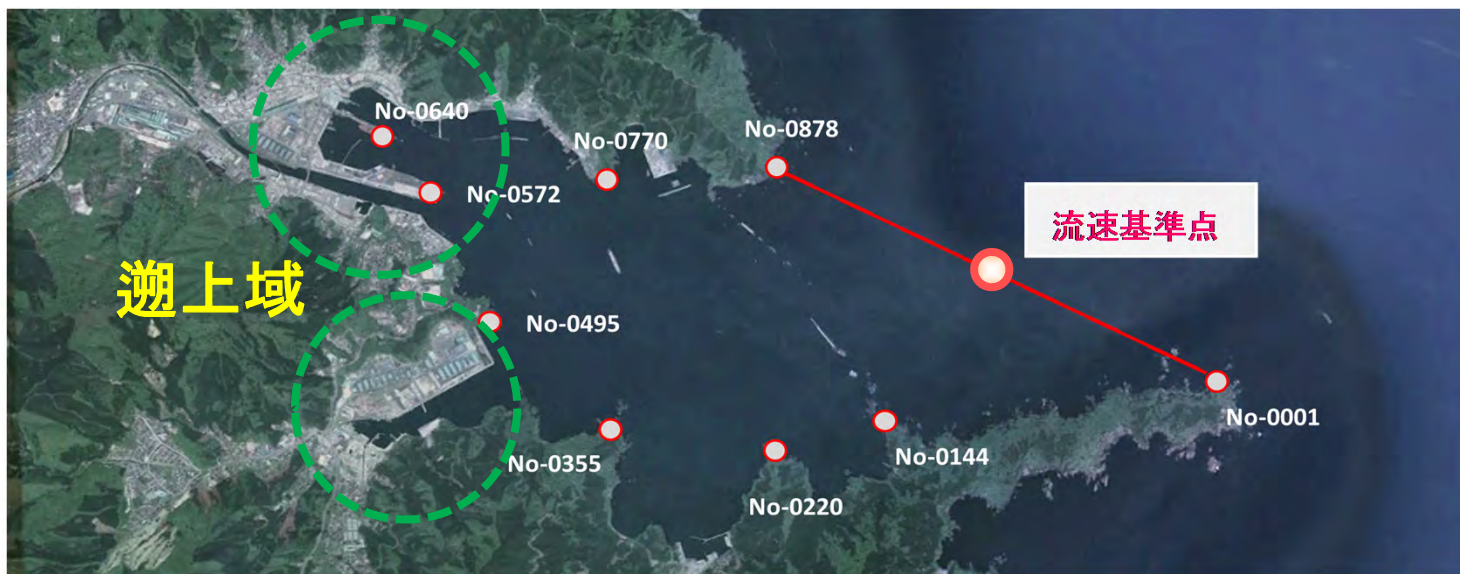
湾が狭く、水深が浅くなると波高が増大

解析対象地点



グリーンの式により傾向はつかめるが、ばらつきも大きい





- 災害時の道路交通ニーズとそれに応える道路構造物の対津波設計の考え方
- 津波浸水シミュレーションで得られた湾口部での波高・流速、湾内での波高・流速の増加率を水理公式等による推定値と比較 → 津波の基本特性の把握（課題あり）
- 総合的な防災・減災の一環としての対津波設計について今後も検討を進める

